

УДК 674.2:624.011.15

Б.Д. Руденко

Сибирский государственный технологический университет

**МОДЕЛИРОВАНИЕ СТАТИЧЕСКОГО СОСТОЯНИЯ
ЦЕМЕНТНО-ДРЕВЕСНОГО КОМПОЗИТА В ПРОЦЕССЕ ЭКСПЛУАТАЦИИ**

Полученная в ходе исследований картина распределения деформаций во времени позволяет прогнозировать долговечность цементно-древесного композита и конструкций из него.

Ключевые слова: статическая характеристика, деформация, статистическая модель, композит.

В процессе эксплуатации цементно-древесных композиционных материалов наблюдаются их деформации, вызванные внешними или внутренними воздействиями, механическими, тепловыми, структурными и др. Характер деформаций зависит от структуры композита. Моделирование деформационных явлений позволяет выявлять эксплуатационные свойства композитов и, следовательно, пути их улучшения.

Цель наших исследований – установление возможности использования статических моделей при определении статистических характеристик деформаций цементно-древесного композита.

Рассмотрим особенности определения статистических характеристик деформаций цементно-древесного композита под воздействием механической нагрузки. При рассмотрении этого вопроса на основании положений [2] в качестве аргумента следует использовать не продолжительность t воздействия механической нагрузки, а деформацию l . Тогда статистические характеристики можно определить по следующим формулам:

дисперсия

$$\sigma_q^2 = \lim_{n \rightarrow \infty} \sum_{i=1}^n q_i^2(l) / n; \quad (1)$$

корреляционная функция распределения деформаций конгломерата

$$R_q(l, l + \Delta l) = \lim_{n \rightarrow \infty} \sum_{i=1}^n q_1(l) q_2(l) / n; \quad (2)$$

нормированная корреляционная функция

$$\rho(\Delta l) = \frac{R_q(\Delta l)}{\sigma_q^2}. \quad (3)$$

Здесь n – число кривых в ансамбле.

Исходной кривой является распределение во времени деформаций $q(l)$, по которой обычным методом определяют как корреляционную функцию $R_q(l, l + \Delta l) = R_q(\Delta l)$, так и спектральную плотность $S_q(\omega)$ (для стационарного процесса). При этом аргументы l и $l + \Delta l$ корреляционной функции будут иметь размерность длины (метр), а аргумент ω спектральной плотности – метр в минус первой. Здесь частота $\omega = 2\pi/L_0$ (где L_0 – длина колебательной волны). Для перехода от аргумента времени τ к аргументу l и от аргумента ω (секунда в минус первой) к аргументу ω_1 нужно τ и ω умножить на скорость (v , м/с) распределения деформаций, т.е. $l = \tau v$; $\omega_1 = \omega v$. При $v = 1$ м/с численные значения l и τ , а также ω и ω_1 совпадают.

Эти характеристики, найденные в функции распределения во времени, определяются в рассматриваемом случае как сигналы для распределения деформаций. Эти сигналы следует выражать через аргументы τ и ω , так как выходные сигналы здесь будут зависеть от распространения деформаций.

Таким образом, чтобы перейти от случайной функции $q(t)$ к случайному процессу $q(t)$, который и представляет собой реакцию динамической системы, нужно аргумент l разделить на скорость v распределения деформаций.

При оценке воздействия механических усилий на конгломерат можно использовать интервалы времени Δl , через которые измеряются ординаты профиля деформаций $q(l)$ во времени (при числе измерений от 40 до 50): для арболита $\Delta l = 10 \dots 20$ ч (при $l = 90$ сут); для ЦСП – 40 ... 50 ч (при $l = 180$ сут); для бетона – 10 ... 20 ч (при $l = 45$ сут).

Корреляционные функции случайного процесса являются функциями неслучайными и аппроксимируются различными функциональными зависимостями. При этом следует выдерживать условие, чтобы аппроксимирующие функции были простыми и при аппроксимации корреляционных функций $R_x(t)$ с увеличением сдвига функция $f(t)$ затухала. Это требование выдерживается, если использовать функцию

$$f(t) = e^{-\alpha_1 t} \cos \beta_1 t. \quad (4)$$

Приведенная на рис. 1 типичная кривая корреляционной функции случайного процесса аппроксимируется зависимостью

$$R_x(\tau) = D_x e^{-\alpha_1 |\tau|}. \quad (5)$$

По зависимости видно, что связь между ординатами случайного процесса, описываемая корреляционной функцией, при увеличении τ уменьшается (корреляционная функция уменьшается). Подобное изменение корреляционной функции с ростом времени τ характерно для случайных процессов.

Наряду с приведенной зависимостью могут быть использованы зависимости

$$R_x(\tau) = D_x e^{-\alpha |\tau|} \cos \beta \tau; \quad (6)$$

$$R_x(\tau) = D_x e^{-\alpha |\tau|} \left(\cos \beta \tau + \frac{\alpha}{\beta} \sin \beta \tau \right) \quad (7)$$

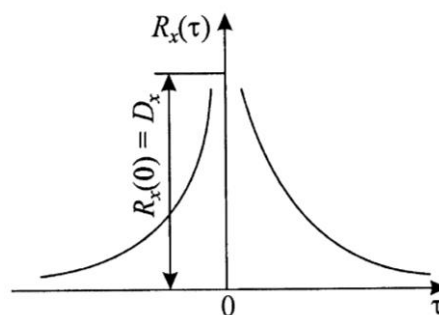
или соответствующие им нормированные корреляционные функции:

$$\rho_x(\tau) = e^{-\alpha |\tau|}; \quad (8)$$

$$\rho_x(\tau) = e^{-\alpha |\tau|} \cos \beta \tau; \quad (9)$$

$$\rho_x(\tau) = e^{-\alpha |\tau|} \left(\cos \beta \tau + \frac{\alpha}{\beta} \sin \beta \tau \right). \quad (10)$$

Рис. 1. Типичная кривая корреляционной функции



В общем случае для нормированной корреляционной функции можно использовать выражение

$$\rho(\tau) = \sum_{i=1}^n A_i e^{-\alpha_i |\tau|} \cos \beta_i \tau. \quad (11)$$

Можно ограничиться $n = 2$, и тогда

$$\rho(\tau) = A_1 e^{-\alpha_1 |\tau|} \cos \beta_1 \tau + A_2 e^{-\alpha_2 |\tau|} \cos \beta_2 \tau \quad (12)$$

либо

$$\rho(\tau) = A_1 e^{-\alpha_1 |\tau|} + A_2 e^{-\alpha_2 |\tau|} \cos \beta_2 \tau, \quad (13)$$

где $A_1 + A_2 = 1$ – безразмерные коэффициенты.

Здесь коэффициенты α и β определяют свойства корреляционной функции и, соответственно, самого случайного процесса, при этом α определяет интенсивность затухания корреляционной функции, а β – среднюю частоту составляющих случайного процесса.

Корреляционную функцию профиля деформаций во времени следует выражать через аргумент расстояния l , имея в виду, что $l = v\tau$ (где v – скорость распределения деформаций). Тогда выражения (12) и (13) примут следующий вид:

$$\rho(l) = A_1 e^{-\alpha'_1 |l|} \cos \beta'_1 l + A_2 e^{-\alpha'_2 |l|} \cos \beta'_2 l; \quad (14)$$

$$\rho(l) = A_1 e^{-\alpha'_1 |l|} + A_2 e^{-\alpha'_2 |l|} \cos \beta'_2 l, \quad (15)$$

где l – интервал корреляции на промежутке времени.

Для вычисления коэффициентов аппроксимирующих выражений используется стандартная программа решения трансцендентных уравнений на ЭВМ.

В таблице приведены коэффициенты аппроксимированных корреляционных функций микропрофиля распределения деформаций во времени.

Значение численных коэффициентов для цементобетона и асфальта взяты из [1, 2], для ЦСП использованы материалы [3–5], для арболита – [6, 7].

От аппроксимированных статистических характеристик (корреляционные функции), используя преобразование Лапласа, переходят к их выражению в форме дробно-рациональных функций, более удобных для расчета и представляющих окончательный вид математической модели исследуемого случайного процесса.

Аппроксимирующие зависимости корреляционных функций

| Тип конгломерата | Дисперсия ординат микропрофиля D_q , см ² | Приближенная аппроксимация нормированной корреляционной функции микропрофиля $r(l)$ | A_1 | A_2 | α_1 | α_2 | β |
|------------------|--|---|-------|-------|-----------------|------------|---------|
| | | | | | м ⁻¹ | | |
| Цементобетон | 0,79 | $e^{-\alpha_1 \tau } \cos\beta\tau$ | – | – | 0,080 | – | 0,143 |
| Асфальт | 1,60 | $A_1 e^{-\alpha_1 \tau } + A_2 e^{-\alpha_2 \tau } \cos\beta l$ | 0,650 | 0,350 | 0,250 | 0,050 | 0,196 |
| ЦСП | 6,20 | $A_1 e^{-\alpha_1 \tau } + A_2 e^{-\alpha_2 \tau } \cos\beta l$ | 0,668 | 0,332 | 1,100 | 10,600 | 19,700 |
| Арболит | 6,30 | $A_1 e^{-\alpha_1 \tau } + A_2 e^{-\alpha_2 \tau } \cos\beta l$ | 0,953 | 0,050 | 0,213 | 0,049 | 1,367 |

Изображение по Лапласу аналитической функции $f(t)$, аппроксимирующей экспериментальные кривые корреляционной функции $R_x(\tau)$, имеет вид

$$\mathcal{L}[f(t)] = \int_0^{\infty} f(t)e^{-st} dt = \frac{D_1(s)}{D_2(s)}, \quad (16)$$

т.е. представляет собой дробно-рациональную функцию, равную отношению двух полиномов $D_1(s)$ и $D_2(s)$ в пространстве изображений по Лапласу (или в комплексной области*).

Если корреляционная функция аппроксимируется выражениями (8) или (9), то им соответствуют нормированные спектральные плотности:

$$\delta_x(\omega) = \frac{2\alpha}{\pi} \frac{1}{\alpha^2 + \omega^2}; \quad (17)$$

$$\delta_x(\omega) = \frac{2\alpha}{\pi} \frac{\omega^2 + \alpha^2 + \beta^2}{(\omega^2 - \alpha^2 - \beta^2) + 4\alpha^2\omega^2}. \quad (18)$$

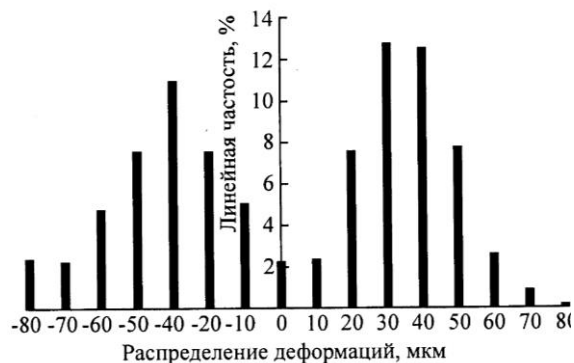
Если аргументом аппроксимированной функции является не время τ , а отрезок значений, то в этом случае спектральная плотность микропрофиля деформаций в промежутки времени может быть выражена формулой

$$\delta_x(\omega) = 2D_x \left[\frac{A_1\alpha_1\nu}{\omega^2 + (\alpha_1\nu)^2} + \frac{1}{2}A_2 \left(\frac{\alpha_2\nu}{(\omega^2 + \beta^2) + (\alpha_2\nu)^2} + \frac{\alpha_2\nu}{(\omega^2 + \beta^2) - (\alpha_2\nu)^2} \right) \right]. \quad (19)$$

Количественные характеристики входных возмущений, например неровностей графической поверхности микропрофиля деформаций, определяются либо экспериментальным путем, либо моделированием. Замеры могут быть прямыми и косвенными. В первом случае изменения размеров (деформации) измеряют с помощью инструментов. Ординаты высот неровностей определяют в промежутке времени через отрезки времени 20 ч; на промежутке 60 сут таких измерений должно быть 40.

* Вопросы исследования систем и процессов в комплексной и частотной областях необходимо рассматривать специально.

Рис. 2. Распределение деформаций во времени



Возможно косвенно определять картину распределения деформаций конгломерата во времени. Для этого необходимо измерить напряжения в некоторой точке и по ним построить профилограмму. После получения профилограммы рассчитать корреляционные функции спектральной плотности, построить гистограмму распределения. В реальных сооружениях основными внешними воздействиями являются нагрузки на участках и, соответственно, их некоторые деформации. Для примера на рис. 2 представлена профилограмма некоторого участка, полученная путем моделирования процесса.

Выводы

1. Использование статических моделей дает возможность определения статических характеристик деформаций цементно-древесного композита под воздействием механической нагрузки.
2. Численные значения коэффициентов аппроксимированных корреляционных функций микропрофиля распределения деформаций во времени позволяют получить численные значения деформаций в зависимости от возмущающих усилий.
3. Распределение деформаций во времени дает возможность прогнозировать долговечность композиционных материалов и конструкций.

СПИСОК ЛИТЕРАТУРЫ

1. Бажанов Ю.М. Бетон при динамическом нагружении М.: Стройиздат, 1970. 410 с.
2. Гоберман В.А., Гоберман Л.А. Технология научных исследований – методы, модели, оценки. М.: МГУЛ, 2002. 390 с.
3. Руденко Б.Д. Исследование процесса и разработка технологии цементно-стружечных плит из древесины лиственницы: дис. ... канд. техн. наук. Красноярск, 1980. 143 с.
4. Руденко Б.Д. Уравнение обобщенной кривой прочности цементно-стружечных плит // Актуальные проблемы современной науки. Строительство и архитектура: сб. ст. Самара, 2006. С. 18–20.
5. Руденко Б. Д., Изотов В.Т., Шумакова О.С. Модель формы древесных частиц для искусственных строительных конгломератов // Материалы и технологии XXI века: сб. ст. Пенза, 2010. С. 118–120.
6. Рыбьев И.А. Строительные материалы на основе вяжущих веществ. М.: Высш. шк., 1978. 309 с.
7. Щербаков А.С., Хорошун Л.П., Подчуфаров В.С. Арболит. Повышение качества и долговечности. М.: Лесн. пром-сть, 1979. 160 с.

B.D. Rudenko
Siberian State Technological University

Static Condition Simulation of Cement-Wood Composite in Operational Process

The deformation distribution pattern produced during the study allows to forecast durability of cement-wood composite and structures made out of it.

Keywords: statistic characteristics, deformation, statistical model, composite.
